

Fig. 1. Antoni A: The tumor cells are irregularly arranged in cellular tissue fragment (Papanicolaou stain).

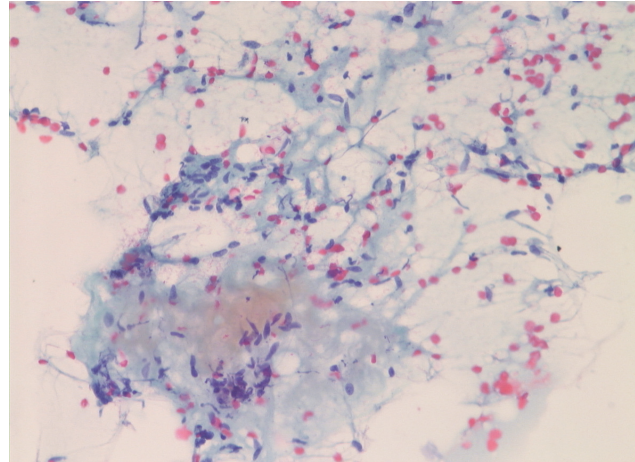


Fig. 2. Antoni B: Loosely cohesive and poorly cellular clusters of spindle cells are embedded in the fibrillar matrix (Papanicolaou stain).

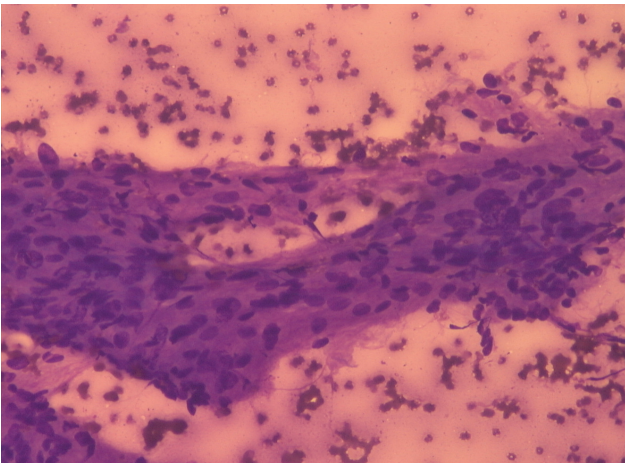


Fig. 3. A fibrillary background substance contains cells with elongated nuclei with pointed ends (Diff-Quick stain).

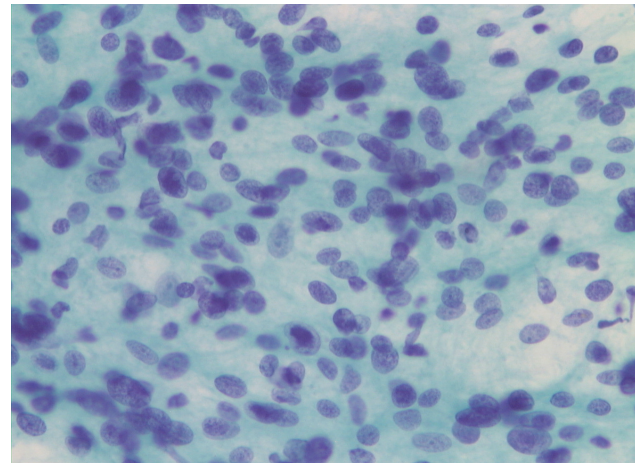


Fig. 4. The tumor cells show cohesive cells with indistinct cell border and round to oval nuclei. Variation of nuclear size and shape are seen (Papanicolaou stain).

징적인 원섬유 기질은 14예에서 관찰되었다 (Fig. 3). 종양 세포는 세포질의 경계가 불명확하고, 핵은 대부분 끝이 뾰족하고 구부러지는 방추형 또는 둥글거나 난원형이었으며, 종종 꼬이거나 쉽표 모양의 핵도 보였다 (Fig. 1, 3, 4). 유사분열은 없었으나 7예에서 다소의 과염색성과 이형성을 보이는 핵이 있었다 (Fig. 4). 핵의 울타리 배열은 10예에서 있었고 분명한 Verocay 소체는 5예에서 있었다 (Fig. 5). 핵 내 봉합체가 3예에서 관찰되었는데 1예는 퇴행성 슈반 세포종이었고, 1예는 점액성 변화를 보였으며, 1예는 고전형 슈반 세포종이었다 (Fig. 6).

본 연구에 포함된 퇴행성 슈반 세포종 2예를 고전형 슈반 세포종과 비교했을 때 원섬유 기질과 길고 구부러진 핵

은 동일하게 나타났으나 Verocay 소체는 보이지 않았다.

부적절 검체 7예 중 4예는 양성 변화를 일으킨 종양에서 흡인되었고, 1예는 유리질 변화를 보이는 종양, 1예는 열기형 슈반 세포종, 1예는 고전형 슈반 세포종에서 흡인되었다.

## 고 찰

세침흡인 세포검사에서 슈반 세포종의 진단율은 38~57%로 보고되었으며, 본 연구에서도 61%로 비슷하였다.<sup>3,4</sup> 이처럼 슈반 세포종의 진단율이 높지 않은 이유는 세침흡인 세포검사에서 부적절 검체의 빈도가 높고, 양성 방추세포